

## رونده تکتونومتامورفیسم مجموعه دگرگونی همدان با استفاده از الگوی زونینگ بلورهای گارنت در متاسندرستون‌های منطقه علی‌آباد دمق

شهریار محمودی<sup>\*</sup>؛ ناهید علیمرادی<sup>۱</sup>؛ فریبرز مسعودی<sup>۲</sup>؛ فاطمه نادری<sup>۳</sup>

۱- استادیار دانشکده علوم زمین، دانشگاه خوارزمی

۲- دانشجوی کارشناس ارشد، دانشکده علوم زمین، دانشگاه شهید بهشتی

۳- استاد، دانشکده علوم زمین، دانشگاه شهید بهشتی

پذیرش مقاله: ۱۳۹۵/۱۲/۱۵

تأیید نهایی مقاله: ۱۳۹۶/۴/۲۵

### چکیده

منطقه علی‌آباد دمق در جنوب شرق همدان شامل سنگ‌های دگرگونی ناحیه‌ای و دگرگونی مجاورتی است. بلورهای گارنت در بیشتر سنگ‌های دگرگونی منطقه از جمله گارنت شیست، گارنت استروولیت شیست، آمفیبول شیست، آمفیبولیت و ماسه سنگ دگرگونی حضور دارند. در این پژوهش از منطقه بندی شیمیائی گارنت در ماسه سنگ‌های دگرگونی برای تفسیر منشا و بررسی تحولات تکتونیکی مجموعه دگرگونی همدان در منطقه علی‌آباد دمق استفاده شده است. ماسه سنگ‌های دگرگونی جنوب علی‌آباد دمق در رختمنون‌های محدود به صورت میان لایه‌های نازک در درون سنگ‌های دگرگونی سری پلیتی و آمفیبولیت‌ها قرار دارند و رنگ آنها نقریباً تیره و فاقد تورق هستند. بافت این سنگ‌ها از نوع گرانوبلاستیک و گرانولیپیدو بلاستیک است. کانی‌های اصلی تشکیل دهنده ماسه سنگ‌های دگرگونی کوارتز، فلدسپار، میکا و گارنت است. گارنت در این سنگ‌ها مستقیماً از زمینه رسی در دگرگونی ناحیه‌ای با درجه متوسط متبلور شده است. گارنت‌ها شکل دار بوده و مطالعات ریزاساختاری نشان می‌دهند که همزمان با دگرگونی ناحیه‌ای تشکیل شده‌اند. تجزیه نقطه‌ای برای تعیین توزیع عنصر از حاشیه به مرکز در پورفیروبلاست‌های گارنت انجام شد. پورفیروبلاست‌های گارنت غنی از آلمندن بوده و کاهش در Mn و افزایش در Fe و Mg از مرکز به حاشیه نشانگر رشد متعدد مرکز و عادی بلورها طی دگرگونی ناحیه‌ای پیش‌روند است. منطقه‌بندی شیمیائی در پورفیروبلاست‌های گارنت به خوبی حفظ شده است. این پدیده در پورفیروبلاست‌های گارنت موجود در ماسه سنگ‌های دگرگونی گویای آن است که دمای دگرگونی ناحیه‌ای بسیار بالا نبوده و این دگرگونی در شرایط حداکثر بالای رخساره شیست سبز شکل گرفته و به رخساره آمفیبولیت نرسیده است. توزیع عناصر در منطقه‌بندی شیمیائی گارنت در مناطق کوه‌زایی که به آهستگی بالا می‌آیند معکوس می‌شود. وجود منطقه‌بندی شیمیائی عادی در گارنت‌های مورد مطالعه بالا آمدگی سریع پس از دگرگونی ناحیه‌ای در منطقه را نشان می‌دهد. حضور دگرگونی دینامیکی (P>>T) پس از اوج دگرگونی ناحیه‌ای در منطقه علی‌آباد دمق این تحول و بر بالا آمدگی سریع را تأیید می‌نماید.

**واژه‌های کلیدی:** منطقه‌بندی شیمیائی گارنت، ماسه سنگ دگرگونی، رخساره شیست سبز، علی‌آباد دمق، همدان، سندج-سیرجان.

## مقدمه

حفظ شده توسط الگوی منطقه‌بندی شیمیائی، نحوه جایگزینی مجموعه دگرگونی منطقه مورد بررسی قرار گیرد. بدین منظور کانی گارنت در ماسه‌سنگ‌های دگرگونی در مرکز تحقیقات فراوری کانه و مواد معدنی ایران مورد تجزیه نقطه‌ای (EPMA) قرار گرفت (جدول ۱). همچنین دو عدد از بلورهای گارنت جهت اندازه‌گیری عناصر کمیاب به روش MS-ICP تجزیه شده است (جدول ۲).

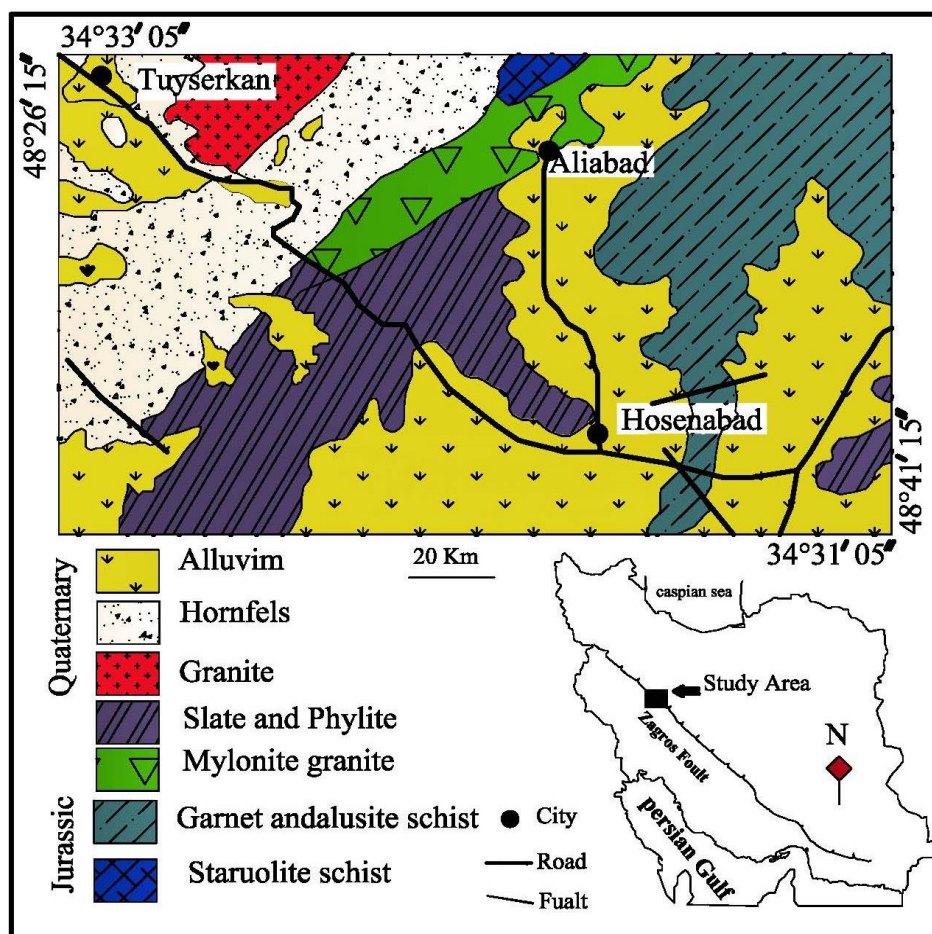
### محدوده مورد مطالعه

منطقه علی‌آباد دمق بخشی از استان همدان در غرب کشور است که در این تحقیق بخش بین طول جغرافیایی  $33^{\circ}34' - 34^{\circ}25'$  شرقی و عرض جغرافیایی  $41^{\circ}48' - 48^{\circ}26'$  شمالی، از آن مورد مطالعه قرار گرفته است. از نظر زمین‌شناسی، منطقه علی‌آباد دمق در بخش شمال باخته پهنه سنندج – سیرجان و در ورقه  $1:250000$  همدان قرار می‌گیرد (شکل ۱). منطقه همدان به دلیل داشتن تنوعی از سنگ‌های دگرگونی و توده نفوذی مهم‌الوقت، از دیرباز مورد توجه بوده است، برخی مطالعات انجام شده در این منطقه شامل مطالعات سنگ‌شناسی بر روی توده الوند (ایرانی، ۱۳۷۲، بهاری‌فر، ۱۳۷۶ و ۱۳۸۳؛ رضایی اقدم، ۱۳۸۳؛ ولی‌زاده، ۱۳۸۰؛ سپاهی گرو ۱۳۷۸) مطالعه بر روی سنگ‌های دگرگونی منطقه همدان، (سپاهی گرو، ۱۳۷۸؛ فرهیبور ۱۳۷۶؛ بهاری فر، ۱۳۷۶؛ نادری، ۱۳۹۱) و مطالعه بر روی تکتونیک و فاپریک منطقه همدان توسط بهاری فر و معین وزیری (۱۳۷۵)، مقدم (۱۳۸۰)، محجل و همکاران (۲۰۰۸)، ایزدی کیانی (۱۳۸۳) سامانی زادگان و محجل (۱۳۷۵) انجام شده است. به طور کلی نتایج بدست آمده از تحقیقات انجام شده نشان می‌دهد منطقه همدان در برگیرنده سه گروه اصلی

گارنت به عنوان یک کانی اصلی دگرگونی و یک کانی فرعی در سنگ‌های آذرین محسوب می‌شود. مطالعه منطقه‌بندی شیمیائی در سنگ‌های دگرگونی از سال ۱۹۷۰ و با گسترش روش تجزیه نقطه‌ای (EPMA) آغاز شد (بانو، ۱۹۶۵؛ دبتون و همکاران، ۱۹۶۵؛ آدرتو و ادموندز، ۱۹۶۶؛ چینر، ۱۹۶۲؛ هولستر، ۱۹۶۶). نوع منطقه‌بندی شیمیائی، تاثیر فرایندهای رشد و سیالات در طول دگرگونی بوسیله توزیع عناصر از مرکز به حاشیه در بلورهای گارنت مشخص می‌شود. توزیع عناصر در سری محلول جامد گارنت بین عضوهای آلماندن، اسپیسارتین و گروسولار در طی مسیرهای متنوع P-T در دگرگونی پیشرونده ثبت می‌شود (اسپیر و همکاران، ۱۹۸۴) علاوه بر این شواهد مهم بافتی در کانی گارنت از جمله ادخال‌ها و بخش‌های حفظ شده در اثر فرایندهای غیر تعادلی، شواهد ارزشمندی در تفسیر سرگذشت تکتونومتامورفیک مناطق دگرگونی به دست می‌دهد. در اثر این فرایندهای غیر تعادلی در سنگ‌های دگرگونی ممکن است برخی از گارنت‌های دگرگونی بافت‌هایی مانند کرونا، سیم‌پلکتیک، ماهی‌گون، اتولی و غربالی را به وجود آورند. در منطقه علی‌آباد دمق همدان مجموعه‌ای از سنگ‌های دگرگونی دیده می‌شود. مجموعه دگرگونی همدان تحت تاثیر چندین فاز دگرگونی قرار گرفته است. بلورهای گارنت در بیشتر سنگ‌های دگرگونی منطقه از جمله گارنت شیست، گارنت استرولیت شیست، آمفیبول شیست و آمفیبولیت و ماسه سنگ‌های دگرگونی حضور دارند. بلورهای گارنت در ماسه سنگ‌های دگرگونی الگوی منطقه‌بندی شیمیائی مشخصی را نشان می‌دهند، لذا در این پژوهش حضور کانی گارنت در ماسه سنگ‌های دگرگونی بررسی شده است و سعی شده با استفاده از شواهد

رخساره هورنبلند هورنفلس است. مهم‌ترین سنگ‌های دگرگون ناحیه‌ای منطقه اسلیت، فیلیت، آندالوزیت شیست، میکا شیست، گارنت میکا شیست، گارنت استارولیت شیست، ماسه سنگ دگرگونی، آمفیبول شیست و آمفیبولیت است. سنگ‌های دگرگونی مجاورتی منطقه را میکا هورنفلس، گارنت هورنفلس، گارنت-آنالوزیت هورنفلس، کردیریت هورنفلس، کردیریت پتابسیم فلدسپار هورنفلس تشکیل شده است. بلورهای گارنت در بسیاری از سنگ‌های دگرگونی منطقه، حضور دارند.

دگرگونی، حاصل فرایندهای دگرگونی ناحیه‌ای یا دیناموترمال، دگرگونی مجاورتی و دگرگونی دینامیک است، مطالعات انجام شده در توصیف مجموعه دگرگونی همدان و روشن کردن توالی رویدادها موثر بوده است ولی در زمینه ارتباط بین رخدادهای زمین‌شناسی و نحوه عملکرد مطالعات زیادی صورت نگرفته است. در منطقه علی‌آباد دمق گروههای سنگی حاصل از هر سه فاز دگرگونی مشاهده می‌شود. درجه دگرگونی سنگ‌های دیناموترمال در حد رخساره شیست سبز تا ابتدای رخساره آمفیبولیت و دگرگونی مجاورتی در حد

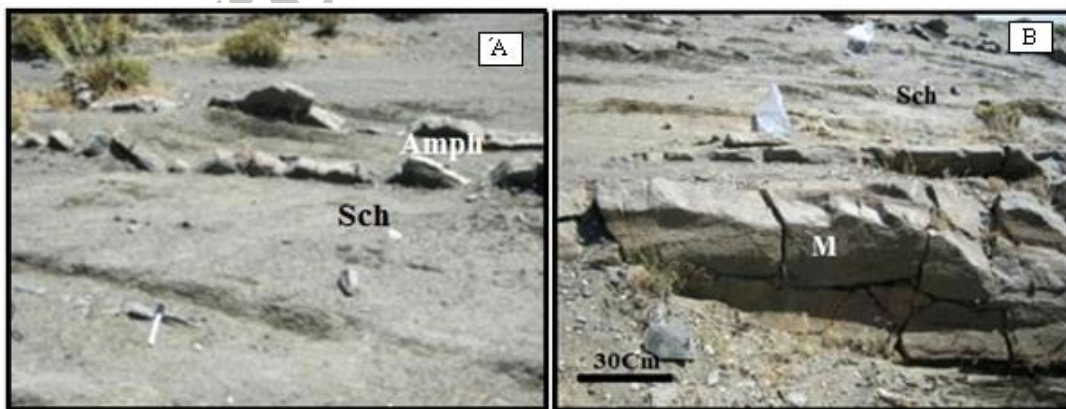


شکل ۱: نقشه زمین‌شناسی منطقه علی‌آباد دمق. ماسه سنگ دگرگونی‌ها به صورت محدود در حد فاصل حسین‌آباد و علی‌آباد دمق رخنمون دارند، اقتباس از نقشه زمین‌شناسی ۱:۲۵۰۰۰ همدان (مجیدی و امینی، ۱۹۷۷).

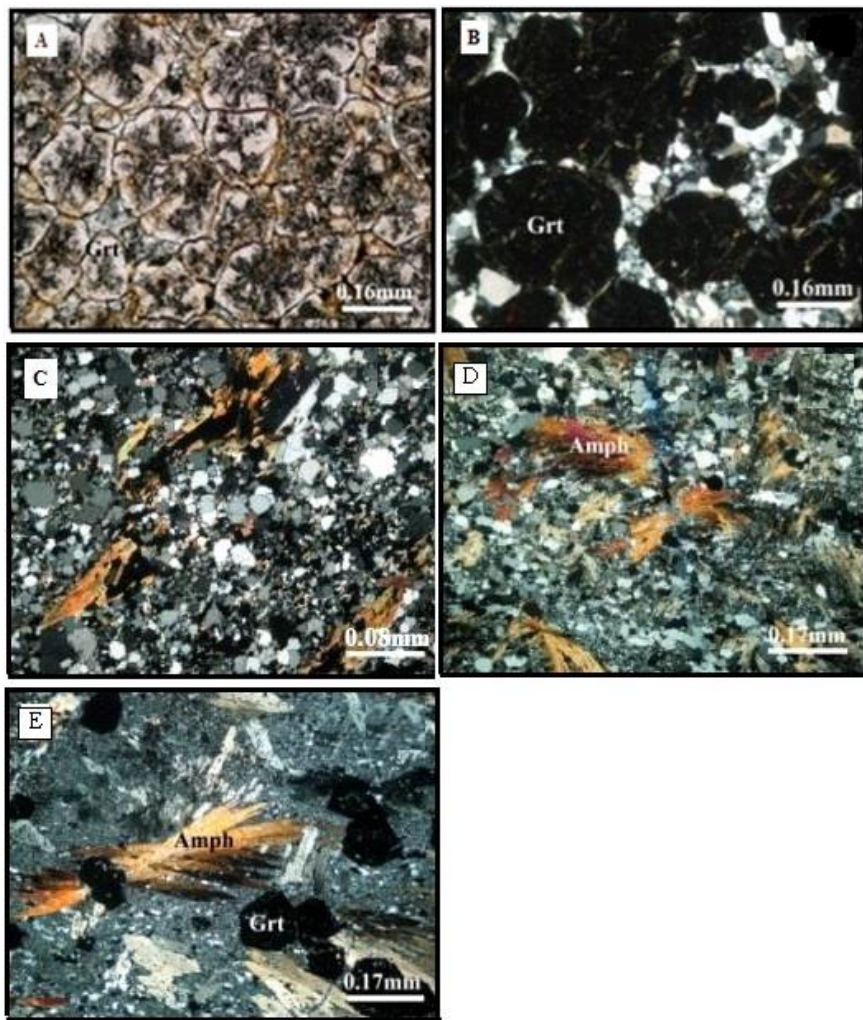
**مجموعه پلیتی:** ماسه سنگ‌های دگرگونی با سنگ‌های پلیتی و آمفیبولیت در تناب و هستند. متاپلیت‌های منطقه شامل اسلیت، فیلیت، آنالوزیت شیست، سیلیمانیت کیانیت شیست، گارنت شیست و استروولیت شیست است که در بررسی میکروسکوپی بافت‌های پورفیروبلاستیک و لیپیدوبلاستیک غالب می‌باشند. ماسه سنگ گارنت شیست و استروولیت شیست از در دگرگونی‌های مورد مطالعه به صورت بین لایه‌ای در کنار گارنت استروولیت با بافت پورفیرولپیدوبلاستیک و حاوی کانی‌های استروولیت، گارنت، بیوتیت، مسکویت، کلریت، کوارتز قرار دارند (شکل‌های C).

**آمفیبول شیست و آمفیبولیت:** آمفیبول شیست و آمفیبولیت‌ها از دیگر سنگ‌های همراه ماسه سنگ‌های دگرگونی هستند. کانی‌های تشکیل دهنده این سنگ‌ها عبارتند از: ترمولیت - اکتینولیت، کوارتز، پلاژیوکلاز، گارنت، زوئیزیت و کانی‌های اپک است (شکل ۳). آمفیبول‌ها دارای ادخال‌هایی از کوارتز و میکا هستند که فراوانی این ادخال‌ها در مرکز نسبت به حاشیه بلور بیشتر است. بافت این سنگ‌ها از نوع پورفیرونماتوبلاستیک و دسته علفی است. (شکل ۳).

ماسه سنگ‌های دگرگونی و سنگ‌های مرتبط: در این پژوهش ماسه سنگ‌های دگرگونی بررسی شده‌اند. این سنگ‌ها به صورت میان لایه‌هایی با ضخامت در حد چند سانتی‌متر در درون سنگ‌های پلیتی و آمفیبولیت‌ها قرار دارند (شکل A۲). رخنمون این سنگ‌ها محدود و دارای مورفولوژی پستی هستند و بیشترین بروزند را در مجاور آبراهه اصلی منشعب از روستای علی‌آباد دمک به سمت جنوب دارند (شکل‌های B۲). رنگ آنها تقریباً تیره بوده و فاقد تورق هستند. بافت این سنگ‌ها از نوع گرانوبلاستیک و گرانولپیدوبلاستیک است. کانی‌های تشکیل دهنده ماسه سنگ‌های دگرگونی کوارتز، فلدسپار، میکا و گارنت است. بخش‌هایی از این سنگ‌ها در برگیرنده درصد بسیار بالایی از گارنت‌های نوع آلماندن است که می‌توان آنها را گارنتیت نامید (شکل‌های A۳ و B) بلورهای میکا در ماسه سنگ‌های دگرگونی جهت یافته‌اند. ماسه سنگ‌های دگرگونی اغلب دارای درصد بالائی از کانی‌های کوارتز فلدسپاتی هستند و با توجه به ترکیب شیمیائی آنها در گروه سنگ‌های دگرگونی با پروتولیت پلیت‌های ناخالص تا ماسه سنگ‌های رس دار ناخالص قرار می‌گیرند (بهاری فر، ۱۳۸۳).



شکل ۲: A) تنابی از لایه‌های شیستی در مناطق پست بخش جنوبی علی‌آباد دمک (Amph) و آمفیبول شیست‌ها (Sch). B) رخنمون ماسه سنگ دگرگونی غنی از گارنت در کنار رودخانه (دید به سمت شمال)



شکل ۳: (A) ماسه سنگ‌های دگرگونی در جنوب منطقه علی‌آباد دمق. (B) تجمع گارنت‌های با ترکیب آلماندن در بخش‌هایی از ماسه سنگ دگرگونی را نشان می‌دهند. (C) جهت یافته‌گی میکا در ماسه سنگ دگرگونی، که باعث تشکیل برگوارگی فاصله‌دار شده‌اند. (D) آمفیبولیت در جنوب علی‌آباد دمق، (XPL). (E) تصاویری از ترمولیت - اکتینولیت‌های دگریخت شده با خاموشی موجی جارویی همراه با گارنت در زمینه‌ای از کوارتز و پلازیوکلاز.

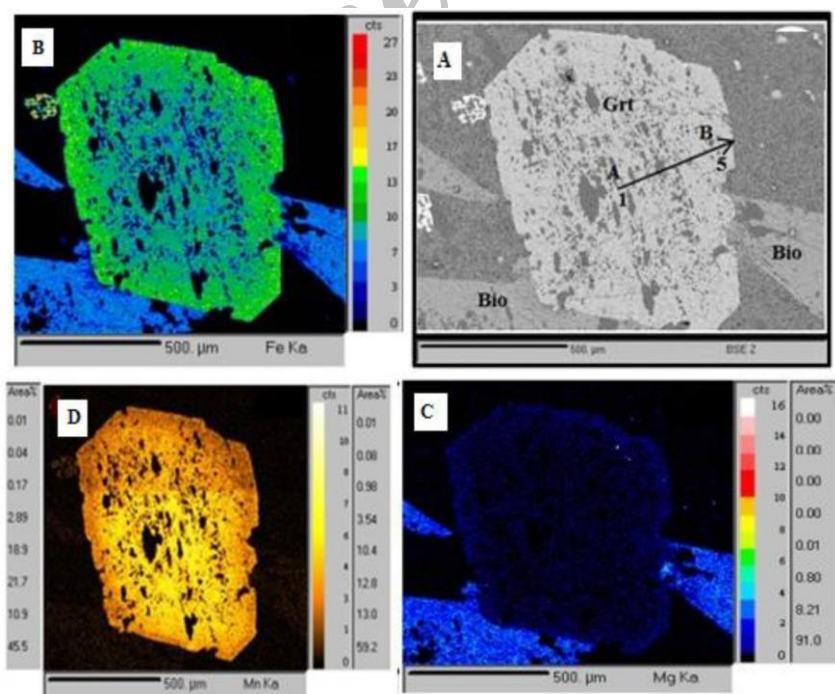
## مواد و روش‌ها

از بین بیش از ۶۰ عدد نمونه برداشته شده که از همگی آنها مقاطع میکروسکوپی تهیه شده و نتایج تجزیه شیمیایی ۱۷ نمونه که توسط روش XRF مورد تجزیه شیمیائی جهت تعیین میزان عناصر اصلی در سنگ کل قرار گرفته، نتایج نشان می‌دهد از پروتولیت سنگ‌های دگرگونی منطقه عمدتاً دارای ۳ منشا پلیتی، بازیک و آهکی می‌باشد و تعدادی نیز در محدوده ماسه سنگی قرار می‌گیرد. دو عدد از مقاطع میکروسکوپی از ماسه سنگ دگرگونی‌های منطقه مورد مطالعه جهت تجزیه نقطه‌ای (EPMA) انتخاب شد و چهار بلور گارنت و بلورهای بیوتیت در ارتباط با آنها تجزیه نقطه‌ای شد (جدول ۱). تجزیه‌های شیمیائی انجام شده با استفاده از دستگاه الکترون میکروپرورب مدل Cameca-X100 و در شرایط شتاب ولتاژ KV ۱۰ و طیف جریان ۱۰ nA در مرکز تحقیقات فرآوری کانه و مواد معدنی ایران، انجام پذیرفته است.

گارنت منطقه در نمودار سه تایی نشان داده شده است (شکل ۶). با استفاده از الگوی پراکنده‌گی عناصر اصلی مانند Fe - Mn و Ca - Mg پیش‌رونده و پس‌رونده در دگرگونی مورد مطالعه قرار می‌گیرد (اینویی و تورینومی، ۲۰۰۴؛ یاردلی ۱۹۹۷) این عناصر در نمونه‌های مورد مطالعه یک منطقه‌بندی شیمیائی عادی را نشان می‌دهد که عناصر Fe - Mg از مرکز به سمت حاشیه افزایش و Ca و Mn کاهش می‌یابد. در رشد منطقه‌بندی شیمیائی عادی پروفیل‌های Mn زنگوله‌ای شکل و از مرکز به حاشیه Mg افزایش می‌یابد (تریسی، ۱۹۸۶؛ لومیس و لامیک، ۱۹۸۲؛ هولسر، ۱۹۶۶). روند خطی ترکیب شیمیائی مرکز به حاشیه گارنت در نمودار سه‌تایی Mn-Mg-Fe وجود دارد (شکل ۶). محاسبه فرمول کانی‌ها نشان می‌دهد که اغلب دانه‌های گارنت از گروه پیرالسپیت و به ویژه غنی از آلماندن هستند (جدول ۱).

## بحث و نتایج ویژگی‌های شیمیائی و الگوی منطقه‌بندی شیمیائی گارنت

تجزیه و تحلیل کمی عناصر از مرکز به حاشیه بلورهای گارنت برداشته شده (شکل A) از ماسه سنگ‌های دگرگونی نمونه‌های علی‌آباد دمق نشان می‌دهد که عناصر Fe و Mg از مرکز به سمت حاشیه افزایش یافته است در حالی که Ca و Mn کاهش یافته است (شکل B). نقشه پراکنده‌گی عناصر در گارنت انتشار پیش‌رونده منطقه‌بندی شیمیائی در Mn و Mg (شکل C) و Fe (شکل D) را نشان می‌دهد، نواحی روشن توزیع بالاتری از تمرکز عناصر و نواحی تیره‌تر توزیع کمتری از عناصر را نشان می‌دهد (شکل ۵). برای تفسیر رشد منطقه‌بندی شیمیائی می‌توان از تغییرات مرکز به حاشیه استفاده کرد (اسپیر، ۱۹۹۱) روند تغییرات شیمیائی خطی از مرکز به حاشیه از تجزیه و تحلیل



شکل ۴: (A) تصویر الکترون بازگشتی ونمایش کانی‌های مختلف در کنار هم. (B) دهنده توزیع عنصر آهن در بلور گارنت (Fe). (C) توزیع منیزیم (Mg). (D) توزیع منگنز (Mn).

جدول ۱: نتایج تجزیه شیمیائی بلورهای گارنت به روش EPMA. و محاسبه اعضای انتهائی در محلول جامد  
گارنت دردو مقطع H-35 و H-30. مقادار آلماندن: XAlm، مقادار اسپسارتین: XSps، مقادار پیروپ: XGrs  
مقدار گروسولار: XGrs

Sample	H-35 , C-1			H-35 , C-2						H-35 , C-3		
	Mineral	Gr-core	Gr-rim	Gr-core	Gr-rim	Gr-core	Gr-rim	Gr-core	Gr-rim	Gr-core	Gr-rim	Gr-core
SiO <sub>2</sub>		47.16	45.77	63.51		43.71	44.87	42.49	49.51	75.73		37.44
TiO <sub>2</sub>		0.75	0.06	0.01		0.08	0.22	0.16	0.07	0.5		0.12
Al <sub>2</sub> O <sub>3</sub>		12.69	14.57	8.14		14.02	14.6	14.88	12.69	5.57		15.71
Cr <sub>2</sub> O <sub>3</sub>		0.01	0	0		0	0	0	0	0		0
Fe <sub>2</sub> O <sub>3</sub>		0.550141		0		1.653224	0.257076	1.612265	0	0		3.5434219
FeO		24.64496	26.42	16.64		22.59235	22.33867	22.50921	23.58	10.73		18.601462
MnO		8.72	7.97	4.61		11.62	11.66	12.37	8.33	3.45		14.76
MgO		1.63	1.94	1.25		1.83	1.3	1.07	1.88	0.61		1.68
NiO		0	0	0		0.08	0.05	0.09	0.06	0.02		0
ZnO		0	0	0		0	0	0	0	0		0.02
CaO		2.53	1.75	1.83		2.42	3.02	3.32	2.36	1.29		4.51
Total		98.6851	98.48	95.99		98.00558	98.31575	98.50147	98.48	97.9		96.384884
Si		3.731609	3.635552	4.530017		3.536473	3.590852	3.447998	3.853192	4.899188		3.1584384
Al iv		0	0	0		0	0	0	0	0		0
Al vi		1.185167	1.36475	0.706037		1.342658	1.378088	1.429127	1.167672	0.446967		1.5769035
Ti		0.044631	0.003584	0.000536		0.004868	0.013241	0.009765	0.004097	0.024327		0.0076133
Cr		0.000626	0	0		0	0	0	0	0		0
Fe <sup>3+</sup>		0.03276	0	0		0.100662	0.015483	0.09846	0	0		0.2249591
Fe <sup>2+</sup>		1.630894	1.760659	1.361051		1.528715	1.495114	1.527622	1.5171456	1.177531		1.3123785
Mn		0.584453	0.53624	0.278529		0.796355	0.790407	0.850278	0.549141	0.189054		1.0547122
Mg		0.192265	0.22971	0.13291		0.220714	0.155087	0.129436	0.21811	0.058827		0.2112688
Ni		0	0	0		0.005206	0.003218	0.005874	0.003756	0.001041		0
Zn		0	0	0		0	0	0	0	0		0.0012458
Ca		0.214505	0.148944	0.139863		0.209797	0.258966	0.288677	0.196804	0.089421		0.4076687
Total		7.61691	7.67944	7.148943		7.745447	7.700455	7.787238	7.564228	6.886356		7.9551881
Almandine		45.69838	55.28761	46.29517		43.10932	42.34337	44.43187	44.78989	47.05633		37.564895
Andradite		2.69199	0	0		7.001654	1.111719	6.470304	0	0		12.58807
Grossular		9.007702	7.279123	13.62471		2.726785	11.28479	6.17663	11.2707	14.03573		2.6199139
Pyrope		10.53273	11.22633	12.94736		10.23468	7.423883	5.670563	12.49085	9.233586		7.8813313
Spessartine		32.01779	26.20693	27.13276		36.92757	37.83623	37.25063	31.44856	29.67435		39.34579

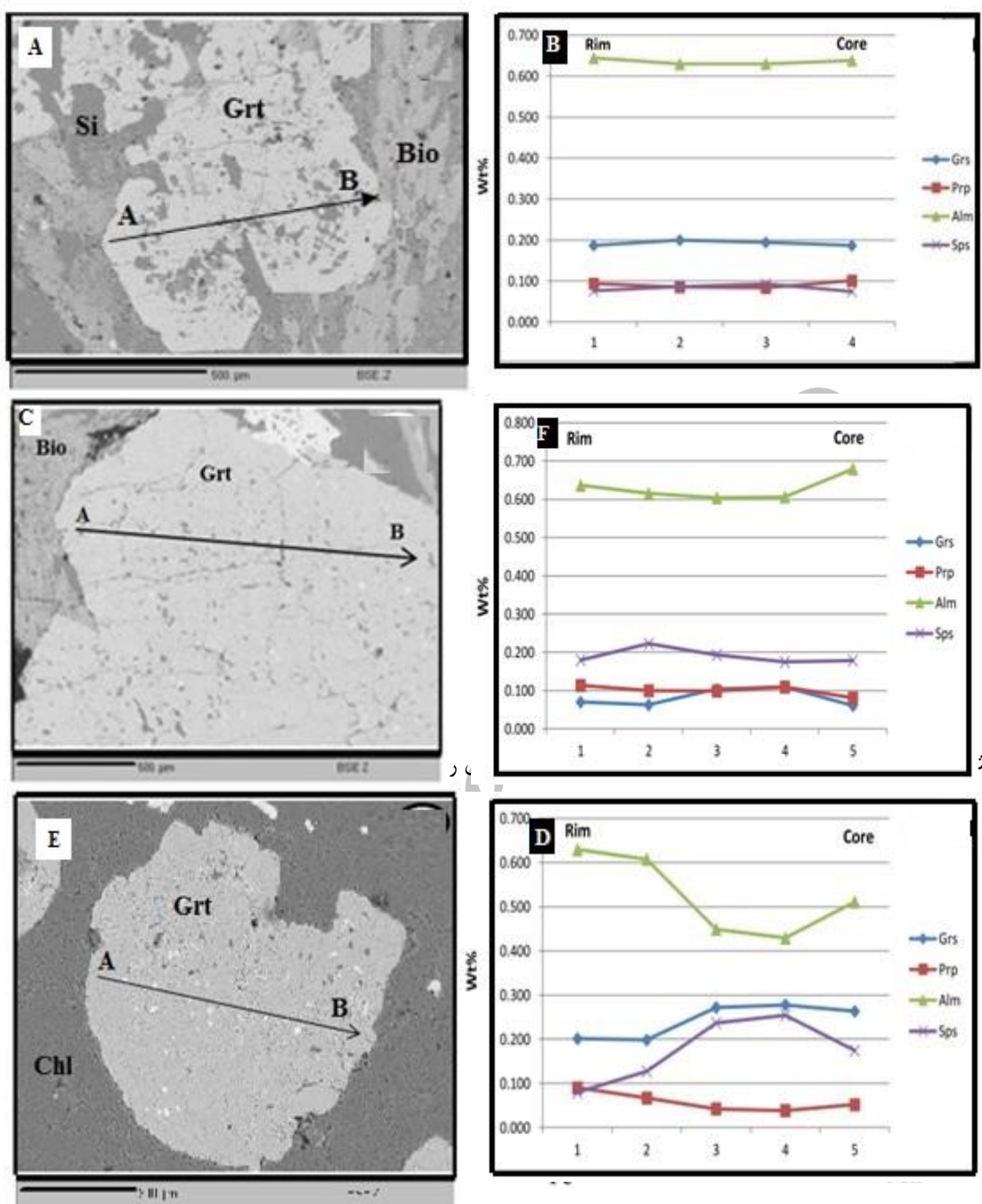
## ادامه جدول ۱

Sample Mineral	H-30 , C-1		H-30 , C-2		H-30 , C-3			
	Gr-core	Gr-rim	Gr-core	Gr-rim	Gr-core	→	Gr-rim	
SiO <sub>2</sub>	38.32	38.79	40.68	42.91	46.69	49.35	56.04	43.88
TiO <sub>2</sub>	0.34	0.12	0.07	0.14	0.02	0.04	0.05	0.05
Al <sub>2</sub> O <sub>3</sub>	16.66	16.62	19.87	19.02	14.49	14.13	14.38	21.15
Cr <sub>2</sub> O <sub>3</sub>	0.02	0.01	0.01	0	0.02	0.01	0	0.01
Fe <sub>2</sub> O <sub>3</sub>	3.229421	2.200262	1.205615	0.226634	0	0	0	0
FeO	19.26401	27.3601	1.565131	2.046064	24.49	21.6	13.92	18.23
MnO	12.86	4.45	0.55	0.49	5.57	5.69	0.61	4.93
MgO	0.77	1.6	0.06	0.23	1.16	1.21	0.61	0.68
NiO	0	0	0	0	0	0	0	0
ZnO	0	0	0	0.01	0.01	0.02	0.01	0.01
CaO	7.81	6.04	34.33	32.8	6.07	6.65	7.16	7.61
Total	99.27344	97.19036	98.34075	97.8727	98.52	98.7	92.78	96.55
Si	3.132496	3.206903	3.116879	3.268576	3.667846	3.776793	4.06616	3.320172
Al iv	0	0	0	0	0	0	0	0
Al vi	1.618648	1.62886	1.799695	1.70863	1.344008	1.284588	1.28466	1.944592
Ti	0.020903	0.007461	0.004034	0.00802	0.001182	0.002302	0.002728	0.002845
Cr	0.001293	0.000654	0.000606	0	0.001242	0.000605	0	0.000598
Fe <sup>3+</sup>	0.198671	0.136894	0.069517	0.012992	0	0	0	0
Fe <sup>2+</sup>	1.317004	1.89173	0.100292	0.130345	1.629516	1.475621	1.356798	1.513428
Mn	0.890465	0.311628	0.035695	0.031616	0.370641	0.368858	0.037491	0.315974
Mg	0.093831	0.197186	0.006853	0.026117	0.135842	0.138042	0.065979	0.076699
Ni	0	0	0	0	0	0	0	0
Zn	0	0	0	0.000562	0.00058	0.00113	0.000536	0.000559
Ca	0.684085	0.535053	2.818428	2.677122	0.51094	0.545321	0.556665	0.616983
Total	7.957395	7.916369	7.951998	7.86398	7.661797	7.59326	7.371016	7.791852
Almandine	38.38651	60.39468	0	0	49.49312	44.99162	64.21561	59.98325
Andradite	11.00539	7.790835	3.728248	0.755032	0	0	0	0
Grossular	14.18634	12.4724	94.718	97.00817	25.27157	28.46102	30.17552	24.41793
Pyrope	3.465178	7.481412	0.24502	1.011863	6.743471	7.216604	3.57657	3.039908
Spessartine	32.88497	11.82348	1.276246	1.224931	18.39934	19.2833	2.032302	12.52334
Uvarovite	0.071607	0.037201	0.032489	0	0.092501	0.04745	0	0.035567

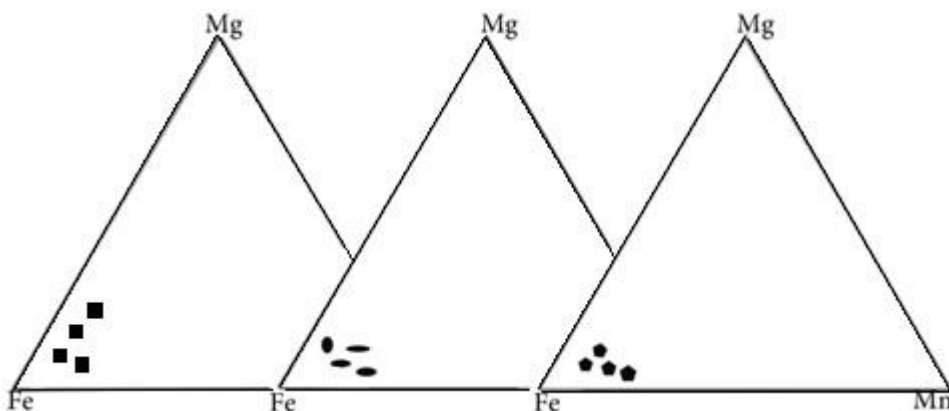
Archiv

جدول ۲: نتایج تجزیه شیمیایی بلورهای گارنت به روش ICP-MS و تغییرات عناصر کمیاب در آنها

<b>Element</b>	<i>AM-GR1</i>	<i>AM-GR2</i>	<b>Element</b>	<i>AM-GR1</i>	<i>AM-GR2</i>	<b>Element</b>	<i>AM-GR1</i>	<i>AM-GR2</i>
<i>Ag</i>	1.60	1	In	<0.5	<0.5	Se	4.44	3.95
<i>Al</i>	97280	94879	K	158	166	Sm	2.46	2.28
<i>As</i>	5.50	5.90	La	4	4	Sn	1	1
<i>Ba</i>	24	45	Li	68	69	Sr	1.30	1.30
<i>Be</i>	<1.0	<1.0	Lu	15.38	14.22	Ta	2.16	2.55
<i>Bi</i>	0.10	0.10	Mg	9850	9746	Tb	8.27	7.45
<i>Ca</i>	13777	13655	Mn	>2%	>2%	Te	<0.1	<0.1
<i>Cd</i>	0.70	0.90	Mo	0.6	0.40	Th	1.44	1.29
<i>Ce</i>	39	40	Na	346	445	Ti	86	81
<i>Co</i>	124.80	123	Nb	2.70	2.60	Tl	<0.10	<0.10
<i>Cr</i>	72	72	Nd	3.50	3.30	Tm	13.38	12.14
<i>Cs</i>	<0.50	<0.5	Ni	6	6	U	0.60	0.50
<i>Cu</i>	3	3	P	101	98	V	53	51
<i>Dy</i>	93.41	84.61	Pb	1318	1307	W	1677	1580.60
<i>Er</i>	89.57	81.02	Pr	0.35	0.28	Y	838.60	768.40
<i>Eu</i>	0.80	0.71	Rb	<1	1	Yb	106.10	97.30
<i>Fe</i>	>10%	>10%	S	373	354	Zn	56	54
<i>Gd</i>	18.43	16.58	Sb	<0.5	<0.5	Zr	18	18
<i>Hf</i>	<0.50	<0.50	Sc	115.5	113.8			



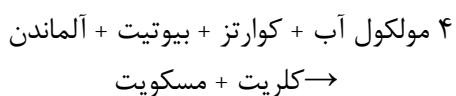
شکل ۵: تغییر در منطقه‌بندی شیمیایی گارناتهای موجود در ماسه سنگ دگرگونی، که در حاشیه از نوع الماندن و اسپسارتین است.



شکل ۶: تغییر در منطقه‌بندی شیمیائی گارنت‌های موجود در ماسه‌سنگ دگرگونی، که در حاشیه از نوع آلماندن و اسپسارتین است.

؛ هولستر، ۱۹۶۶؛ تریسی، ۱۹۶۸؛ اینویی و تورینومی، ۲۰۰۴؛ مسعودی و همکاران، ۲۰۰۶). نقشه‌های ترکیبی X-ray و پروفیل‌های حاشیه به هسته برای  $Mg - Mn$  و  $Fe - Mg$  که به وسیله آنالیز EPMA تعیین شده نشان دهنده منطقه‌بندی شیمیائی متحdal‌مرکز با حاشیه خوب حفظ شده برای گارنت‌های منطقه است. کاهش در  $Mn$  و  $Fe$  افزایش در  $Mg$  از هسته به طرف حاشیه در گارنت‌های پورفیروبلاست نشان دهنده رشد پیوسته منطقه‌بندی شیمیائی در رخساره شیست سیز و قبل از آمفیبولیت است. دمای کمتر از ۶۰۰ درجه سانتی‌گراد منطقه‌بندی شیمیائی عادی گارنت را نشان می‌دهند و در دماهای بالاتر این منطقه‌بندی شیمیائی از بین می‌رود. منطقه‌بندی شیمیائی بلورهای گارنت در دماهای پایین حفظ می‌شوند (توکیلو، ۱۹۹۰). در محیط‌های دگرگونی درجه پایین تا متوسط، زون‌بندی از نوع منطقه‌ای رشدی است، که در سیستم‌های بسته این نوع ناحیه‌بندی به صورت غنی‌شدگی یک یا چند عنصر در مرکز و کاهش تدریجی آن‌ها به سمت حاشیه بلور و برعکس است (مسعودی و همکاران، ۲۰۰۶). بلورهای گارنت یکی از فراوان ترین پورفیروبلاست‌ها در سنگ‌های دگرگونی مجاورتی، ناحیه‌ای منطقه علی‌آباد دمک است. این گارنت‌ها

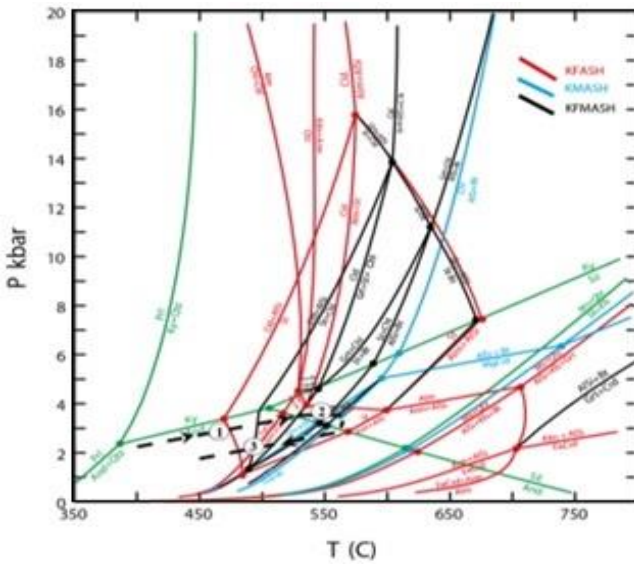
واکنش تشکیل گارنت: مطالعات پتروگرافی انجام شده در مجموعه دگرگونی همدان (بهاری فر، ۱۳۸۳ و ۱۳۷۶؛ نادری، ۱۳۹۱) و در سنگ‌های پلیتی نشان می‌دهد گارنت به صورت گستره‌های در اکثر سنگ‌های منطقه وجود دارد و می‌تواند به عنوان یک شاخص در مطالعه فرایندهای دگرگونی به کاربرده شود (توکیلو و همکاران، ۱۹۹۰). مطالعات ترموبارومتری انجام شده براساس واکنش‌های تبادل یونی بین گارنت و بیوتیت توسط فری و اسپیر (۱۹۷۸)، در ماسه سنگ دگرگونی‌های گارنت‌دار منطقه مورد مطالعه دمای بین ۳۵۰ و ۵۷۰ درجه سانتی‌گراد و فشار  $\frac{3}{5}$  تا  $400$  کیلوبار را نشان می‌دهد. در شرایط  $P > 2$  کیلوبار و  $T > 400$  درجه سانتی‌گراد پارازنز موجود در سنگ‌های مورد مطالعه در سیستم KFMASH براساس واکنش زیر ایجاد شده است (وینکلر، ۲۰۱۱).



شرایط تشکیل منطقه بندی شیمیائی در گارنت: به طور کلی در رشد منطقه‌بندی شیمیائی، هسته گارنت‌ها غنی از  $Mn$  و حاشیه از  $Mg$  غنی هستند (آزموف و شولوکنبرگ، ۱۹۵۵؛ یاردلی،

**مراحل دگرگونی منطقه:** پدیده منطقه‌بندی شیمیائی در کانی‌هایی از جمله گارنت و سیله مناسبی جهت مطالعه تحولات ترمودینامیکی و ژئوشیمیایی است (تریسی، ۱۹۸۲؛ اسپیر، ۱۹۸۸). گارنت یکی از پورفیروبلاست‌های رایج در انواع سنگ‌های دگرگونی و حفظ منطقه‌بندی شیمیائی در دامنه وسیعی از دما و فشار، ابزاری مناسب در تفسیر فرایندهای تکتونیکی و دگرگونی در کمپلکس‌های دگرگونی است. منطقه‌بندی شیمیائی گارنت‌ها بیانگر رشد کانی طی رخدادهای مختلف شیمیایی و فیزیکی و عدم وجود تعادل شیمیایی کامل بین کانی و محیط اطراف آن است (چین و همکاران، ۱۹۸۸؛ کارلسون، ۲۰۰۲). از منطقه‌بندی شیمیائی گارنت برای تفسیر تاریخچه و بررسی مسیر P-T-t و تحولات تکتونیکی مجموعه‌های دگرگونی نیز استفاده می‌شود (اسپیر، ۱۹۸۸). در مناطقی که بالاً‌آمدگی به کندی صورت گیرد زمان کافی برای رشد منطقه‌بندی شیمیائی معکوس در بلورها وجود داشته و منطقه‌بندی شیمیائی کانی گارنت معکوس می‌شود. حفظ منطقه‌بندی شیمیائی عادی در بلورهای مورد مطالعه، بالاً‌آمدگی سریع سنگ‌ها پس از اوج دگرگونی ناحیه‌ای را تایید می‌کند (مسعودی و همکاران، ۲۰۰۶). در این بالاً‌آمدگی سریع در منطقه فرصت کافی برای انتشار معکوس عناصر در گارنت وجود نداشته است. مسیر دگرگونی‌های منطقه را می‌توان در شکل ۷ خلاصه نمود.

بیشتر از گروه پیرالسپیت و نوع آلماندن هستند. گارنت در طی دگرگونی پس‌رونده به ویژه از اطراف به بیوتیت و یا کلریت تبدیل شده است. در ماسه سنگ دگرگونی‌ها، گارنت به صورت شکل‌دار تانیمه شکل‌دار بوده و برخی دارای ادخال هستند و در مقاطع به صورت گارنت اسکلتی دیده می‌شوند. بررسی نتایج آنالیز نقطه‌ای (EPMA) نشان دهنده منطقه‌بندی شیمیائی شیمیایی در گارنت‌ها است، به نحوی که مقدار گروسوکلر، اسپسارتین از هسته به حاشیه کم شده و مقدار پیروپ و آلماندن افزایش می‌یابد. طبق تحقیقات ویلیامز و گرامبلینگ (۱۹۹۰)، کرتز (۱۹۹۴) و میاشیرو (۱۹۹۴) این نوع منطقه‌بندی شیمیائی شاخص گارنت‌های با رشد عادی در طی دگرگونی است. وجود منطقه‌بندی شیمیائی شیمیایی غالباً ناشی از رشد در طی افزایش دما است (لومنس و نایمک، ۱۹۸۲). اسپسارتین و آلماندن در محدوده وسیعی از فشار و دما پایدارند و میدان پایداری آنها با شرایط اکسیداسیون تغییر می‌کند. میاشیرو (۱۹۷۳) و هاس (۱۹۶۸) نشان داده‌اند که اولاً میدان پایداری آلماندن با افزایش فوگاسیته اکسیژن کاهش می‌یابد و ثانیاً دمای ظهور اسپسارتین بسیار کمتر از آلماندن می‌باشد. آمفیبول شیستهای منطقه در دمای بالای رخساره شیست سبز و پائین رخساره آمفیبولیت تشکیل شده‌اند. با توجه به همراهی ماسه سنگ‌های دگرگونی با آمفیبول شیستهای، شرایط تشکیل گارنت‌ها از زمینه ماسه سنگ دگرگونی‌ها نیز می‌تواند در شرایط مشابه‌ای تشکیل شده باشد.



شکل ۷: مسیر تقریبی دما و فشار در مراحل دگرگونی منطقه علی آباد دمق، به ترتیب: ۱) دگرگونی ناحیه‌ای (۲) دگرگونی مجاورتی (۳) دگرگونی برگشتی بوده است. نمودار پایه از (هولند و پاول، ۱۹۹۸)

### نتیجه‌گیری

افتاده است و باعث ایجاد پهنه‌های برشی شده است. با توجه به شواهد ساختاری و کانی‌شناسی در سنگ‌های دگرگونی منطقه مورد مطالعه شرایط دگرگونی دما متوسط مشابه رخساره شیست سبز تا ابتدای رخساره آمفیبوليٽ بر سنگ‌ها حاکم بوده است. این دگرگونی می‌تواند در طی دگرگونی ناحیه‌ای حاصل از فرورانش صفحه عربستان در زون سنندج سیرجان به وجود آمده باشد. با توجه به مطالعات انجام شده بنظر می‌رسد فرورانش در سنندج سیرجان از نوع حواشی جمع شونده با سرعت بالا باشد. شواهد دگریختی در ریزساختارهای دما پائین نشان می‌دهد که سنگ‌های دگرگون شده سپس در یک پهنه برشی راست بر قرار گرفته‌اند.

حفظ منطقه‌بندی شیمیائی گارنت در سنگ‌های شکل گرفته در رخساره شیست سبز و زیر رخساره آمفیبوليٽ نشان دهنده تشکیل دگرگونی ناحیه‌ای با اوج دمایی کمتر از ۶۰۰ درجه سانتی‌گراد است. معکوس نشدن منطقه‌بندی شیمیائی گارنت‌ها نیز گویای سرعت بالاً‌مدگی زیاد پس از اوج دگرگونی ناحیه‌ای است (مسعودی، ۲۰۰۶). در این شرایط فرصت نشر عناصر برای معکوس شدن منطقه‌بندی شیمیائی وجود نداشته است. حضور دگرگونی دینامیکی ( $T < P$ ) پس از دگرگونی ناحیه‌ای در منطقه علی آباد دمق نیز می‌تواند در طی شرایط سطحی‌تر از دگرگونی ناحیه‌ای شکل گرفته باشد و وجود چنین بالاً‌مدگی سریع را تایید می‌نماید. در واقع سرد شدن سریع در طی بالاً‌مدگی سریع اتفاق

## منابع

- رضایی اقدم، م.، ۱۳۸۳. ماهیت سیال‌های درگیر و نقش آنها در تشکیل پگماتیت‌های منطقه همدان، پایان‌نامه کارشناسی ارشد (گرایش پترولوزی)، دانشگاه خوارزمی.
- فرهپور، م.، ۱۳۷۶. تحلیل پتروگرافی سنگ‌های دگرگونی ناحیه‌ای شرق باтолیت همدان، پایان‌نامه کارشناسی ارشد (تکتونیک)، دانشگاه تربیت مدرس.
- مسعودی، ف.، مهرابی، ب. و فرازدل، ف.، ۱۳۸۴. نوع ساختمان منطقه‌ای گارنت در اسکارن‌های توده نفوذی قهره‌رود، جنوب کاشان، مجله بلورشناسی جلد ۳ و کانی‌شناسی، ص ۴۳-۶۳.
- محجل، م.، ولی‌زاده، م. و مقدم، ف.، ۱۳۸۵. تحلیل دگریختی در گرانیت میلیونیتی علی‌آباد دمک و اهمیت پهنه برشی آن در تفسیر تکتونیک منطقه همدان، مجله علوم دانشگاه تهران، جلد ۳۲، شماره ۲، ص ۹۱-۱۰۴.
- نادری، ف.، ۱۳۹۱. پتروفابریک و پتروژن سنگ‌های دگرگونی شرق تویسرکان، پایان‌نامه کارشناسی ارشد (گرایش پترولوزی)، دانشگاه شهید بهشتی.
- ولی‌زاده، م.، ۱۳۸۰. ماهیت سیال‌های درگیر CV و نقش آن‌ها در تشکیل پگماتیت‌های منطقه همدان، پایان‌نامه ارشد (گرایش پترولوزی)، دانشگاه خوارزمی.
- مقدم، ف.، ۱۳۸۰. پترولوزی و پتروفابریک توده نفوذی علی‌آباد دمک، پایان‌نامه کارشناسی ارشد، دانشکده علوم، دانشگاه تهران، ۱۵۵ ص.
- ایرانی، م.، ۱۳۷۲. بررسی پترولوزی توده گرانیتی الوند و هاله دگرگونی آن، پایان‌نامه کارشناسی ارشد، دانشکده علوم دانشگاه شهید بهشتی.
- ایزدی کیان، ل.، ۱۳۸۳. تحلیل ساختاری و پتروفابریک منطقه آلموقلاع (شمال باختر همدان)، پایان‌نامه کارشناسی ارشد (تکتونیک)، دانشگاه تربیت مدرس.
- بهاری فر، ع.، ۱۳۷۶. نگرشی نو پتروژن سنگ‌های دگرگونی ناحیه‌ای منطقه همدان، پایان‌نامه کارشناسی ارشد (گرایش پترولوزی)، دانشگاه خوارزمی.
- بهاری فر، ع.، ۱۳۸۳. پترولوزی سنگ‌های دگرگونی منطقه همدان، رساله دکتری (گرایش پترولوزی)، دانشگاه خوارزمی.
- بهاری فر، ع. و معین وزیری، ح.، ۱۳۷۵. رخدادهای تکتونیکی و دگرگونی منطقه همدان، شواهد چینه‌شناسی و تفسیرهای جدید، نشریه دانشکده علوم دانشگاه تربیت معلم، جلد ۸، ص ۷۶-۶۵.
- سامانی زادگان، ر. و محجل، م.، ۱۳۹۰. الگوی کرنش نسبی در گرانیتوئید علی‌آباد دمک، مجله سازمان زمین‌شناسی، جلد ۲۱، شماره ۸۱، ص ۶۹-۷۴.
- سپاهی گرو، ع.، ۱۳۷۸. پترولوزی مجموعه پلوتونیک الوند با نگرشی ویژه بر گرانیتوئیدها، پایان‌نامه دکتری زمین‌شناسی، دانشکده علوم، دانشگاه تربیت معلم.

-Atherton, M.P. and Edmunds, W. M., 1966. An electron microprobe study of some zoned garnets from metamorphic rocks, Earth Planet. Sciences Letters, v.1, p. 185-193.

-Bonatti, S., 1965. Notes on Rock Forming Minerals, Zonal structure of

pyralspite in Sanbagawa schists in the

Bessi area, Shikoku, Journal of

Geological of Society Japan, v 71, p.185-188.

-Carlson, W.D., 2002. Scales of

disequilibrium and rates of equilibration

- during metamorphism, American Mineralogist, v. 87, p. 185-204.
- Chen, N.S., Sun, M., You, Z.D. and Malpas, J., 1988. Well-preserved garnet growth zoning in granulite from the Dabie Mountains, central China, Journal of Metamorphic Geology, v. 16, p. 213-222.
- Chinner, G.A., 1962. Almandin in thermal aureoles. Journal of Petrology, v. 3, p. 316-340.
- Debethune, P., Goossens, P. and Berger, P., 1965. Emploi des grenats zonaires comme indicateur du cours de métamorphisme, Comptes Rendus Académie Science Paris, v. 260, p. 6940-6949.
- Ferry, J. M. and Spear, F. S., 1978. Experimental calibration of the partitioning of Fe and Mg between biotite and garnet, Contributions to Mineralogist and Petrology, v. 66, p. 113-117.
- Holland, T.J.B. and Powell, R., 1998. An internally-consistent thermodynamic dataset for phases of petrological interest, Journal of Metamorphic Geology, v. 16, p. 309-344.
- Hollister, L.S., 1966. Garnet zoning, an interpretation based on the Rayleigh fractionation model, Science, v. 154, p. 1647-1651.
- Hollister, L.S., 1969. Contact metamorphism in the Kwoiek area of British Columbia, An end-member of the metamorphic process, Geological Society of American, Bulletin, v. 80, p. 2464-2494.
- Hsu, L.C., 1968. Selected phase relationships in the system (Al, Mn, Fe, Si and O) a model for garnet equilibria, Journal of Petrology, v. 5, p. 40-83.
- Inui, M. and Toriumi, H., 2004. A theoretical study on the formation of growth zoning in garnet consuming chlorite, Journal of Petrology, v. 45, p. 1369-1392.
- Kretz, R., 1994. Metamorphic Crystallization, John Wiley and Sons, 507 p.
- Loomis, T.P. and Nimic, F.B., 1982. Equilibrium in (Mn, Fe, Mg) aluminous pelitic composition and the equilibrium growth of garnet, Canadian Mineralogist, v. 20, p. 393-410.
- Majidi, B. and Amidi, M., 1977. The report of geological map of Hamedan, translation Manouchehr Soheily et al, S.Z.K (map report).
- Masoudi, F., Mehrabi, B. and Mahmoudi, Sh., 2006. Garnet (almandine-spessartine) growth zoning and its application to constrain metamorphic history in Dehsalm Complex, NE Iran, Journal of science, Islamic Republic of Iran, v. 17(3), p. 235-244.
- Miyashiro, A., 1994. Metamorphic and metamorphic belts, Publ, UnwinHyman, London, 5 edition, 375 p.
- Miyashiro, A., 1973. Metamorphism and metamorphic belts, George Allen and Uniwin, London, 492 p.
- Mohajel, M., Valizadeh, M. and Moghadam, F., 2008. The analysis of deformation in mylonitic granite of Aliabad-Damaghe and significance of its tectonic shear zone in the interpretation of Hamadans region, Journal of Sciences, University Tehran, v. 32(2), p. 91-104.
- Spear, F.S., 1988. Metamorphic fractional crystallisation and internal metasomatism by diffusional homogenization of zoned garnets, Contributions to Mineralogy and Petrology, v. 98, p. 507-517.
- Spear, F.S., 1991. On the interpretation of peak metamorphic temperatures in light of garnet diffusion during cooling, Journal of Metamorphic Geology, v. 9, p. 379-388.
- Spear, F.S., Silverstone, J., Hickmott, D., Crowley, P. and Hodges, K.V., 1984. P-T paths from garnet zoning: a new

- technique for deciphering tectonic processes in crystalline terranes, *Geology*, v. 12, p. 87-90.
- Tracy, R.J., 1982. Compositional zoning and inclusions in metamorphic minerals, In Characterization of Metamorphism through Mineral Equilibria, edited by J.M. Ferry, *Reviews in Mineralogy*, Washington, D.C: Mineralogical Society of America., v. 10, p. 355-397.
- Tracy, R.J., 1986. Compositional zoning and inclusions in metamorphic minerals, *Reviews in Mineralogy*, v. 10, Chapter 9.
- Tuccillo, M.E., Essene, E.J. and Van Der Pluijim, B.A., 1990. Growth and retrograde zoning in garnets from high grade metapelites: implication for pressure paths, *Geology*, v. 18, p. 839-842.
- Williams, M.L. and Grambling, G.A., 1990. Manganese, ferric iron, and the equilibrium between garnet and biotite, *American Mineralogist*, v. 75, p. 886-908.
- Winkler, J.D.H., 2011. Petrogenesis of Metamorphic rocks, Springer-Verlag New York, 263 p.
- Yardley, B.W.D., 1977. An empirical study of diffusion in garnet, *American Mineralogist*, v. 62, p. 793-800.